

大和橋の現場実験(II報)
-斜張橋形式のプレストレスしない連続合成橋-

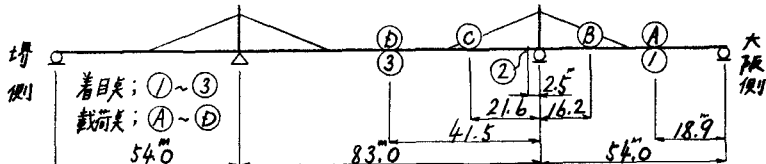
大阪工業大学	正員	末尾 親助
大阪市土木局	正員	松川 昭夫
大阪市土木局	正員	中西 正昭
石川島播磨重工業		新田 芳孝
大阪工業大学	正員	栗田 章光

1. まえがき.

本文は、先のP.S導入時の試験¹⁾に続いて行った完成時の載荷試験の結果について報告していく。主な内容は、静的載荷試験および走行試験等による固有振動周期、減衰率、衝撃係数の実測結果である。

2. 車両特性

載荷に用いたトラック
2台の車両特性をTab-3およびTab-1に示す。



3. 静的載荷試験の結果.

着目点および載荷点をFig-1に、計測器の種類と取付位置およびその記号を一括してFig-2に示しておいた。また、試験内容はTab-2のとおりである。

各載荷ケースにおけるたわみおよびひずみの実測値と計算値とともにTab-3, Tab-4に示した。なお、材料試験の結果から理論計算におけるヤング係数比は $\eta = 7.5$ 、セン断弾性係数比は $\eta_g = 5.4$ を用いた。さて、本橋の場合、一般に

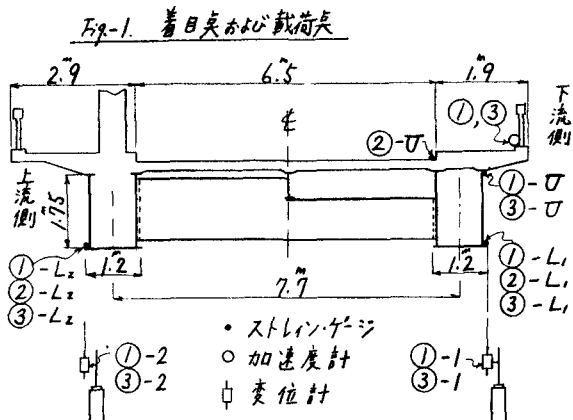
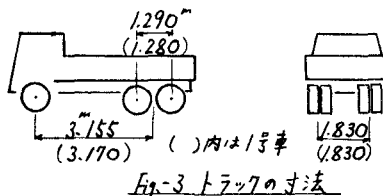


Fig-2 計器の取付位置とその記号



Tab-1 トラックの重量および振動特性

	前輪重量(kt)	後輪重量(kt)	全重量(t)
1号車	5.00	18.71	23.71
2号車	4.71	19.31	24.02
固有振動数 $N=2.6$, 対数減衰率 $\delta=0.69$			

Tab-2 静的載荷試験内容

ケース名	載荷点	測定項目		載荷状態	
		ひずみ	たわみ	対称	非対称
Case-1	Ⓐ	(1)-L ₁ (1)-L ₂ (1)-U	(1)-1 (1)-2	大坂	
Case-2	Ⓑ Ⓑ Ⓑ	(2)-L ₁ (2)-L ₂ (2)-U	(3)-1 (3)-2	大坂	□: 1号車 ■: 2号車
Case-3	Ⓓ	(3)-L ₁ (3)-L ₂ (3)-U	(1)-1 (1)-2 (3)-1 (3)-2	大坂	△: 場

Tab.-3 たわみ(mm)

ケ-ス名	変位計 の記号	載荷状態					
		対称			非対称		
		①	②	③	④	⑤	⑥
Case-1	①-1	13.96	16.57	0.84	8.24	10.23	0.81
Case-1	①-2	13.93	16.42	0.85	5.63	6.27	0.90
Case-2	③-1	4.85	5.25	0.92	(+)	下向き	
Case-2	③-2	4.82	5.25	0.92	(-)	上向き	
Case-3	①-1	-8.48	-10.11	0.84	-4.53	-6.24	0.73
Case-3	①-2	-8.23	-10.02	0.82	-3.07	-3.82	0.80
Case-3	③-1	25.11	31.36	0.80	16.09	19.35	0.83
Case-3	③-2	23.14	31.08	0.74	10.47	11.85	0.88

計算上考慮された実橋の剛性向上の要素として、ケーブル足着点および中央支点付近の補剛ならびにそれらの位置における歩道部拡幅の影響が特に大きいたと考えられる。

4. 動的載荷試験の結果。

Fig-1 の②矢は 2 号車の後輪を踏台上より静かに落下させ対称 1 次の固有振動周期

$T_1 = 1.20^s$ 対数減衰率 $\delta_1 = 0.068$ を得た。計算値は $T_1 = 1.07^s$ である。

次に、Tab-5 に示した内容にしたがって走行試験を実施した結果、たわみのデータとともに算出した着目点①, ③の衝撃係数を Tab-6 に、また、車両が橋上を通過した後の加速度計の振動波形を用いて算定した対数減衰率を Tab-7 に示す。

5. 結論。

(1). 静的載荷試験の結果、ひずみおよびたわみの実測値は計算値の 75~90% 程度であり、所定の剛度を有している。

(2). 対称 1 次の固有振動周期は平均 1.20^s 、対数減衰率 0.068 程度であり、本橋の性格上、通常の斜張橋と連続合成桁橋との間の性状を示しており、どちらかといえば後者に近い。

(3). 衝撃係数は設計値を上回ることなく、他のコンクリート部を有する橋樁と同様に振動の減衰性は良好である。本試験の範囲内においては 3~4% の振動数が最も多くみられる。

(4). 斜張的である本橋の性状は Non-P.S 連続合成桁橋の中間支点部域を斜張ケーブルで補剛した形と見るのが適切であることを示してある。

なお、引続き供用開始後の長期測定を行っており、後日報告する予定である。終りにあたり、本実験を行うに際し種々ご協力していただけた関係各位に感謝の意を表します。

1) 赤尾他4名：‘大和橋の現場実験(工報)’、関西支部年次学術講演概要集、I-36-1~2, S49-5.

Tab.-4 ひずみ($\times 10^4$)

ケ-ス名	ゲージ の記号	載荷状態					
		対称			非対称		
		①	②	③	④	⑤	⑥
Case-1	①-L ₁	12.2	158	0.77	80	97	0.82
Case-1	①-L ₂	12.9	156	0.83	54	60	0.90
Case-2	①-U	-7	-13	0.54	—	-8	—
Case-2	②-L ₁	-3.7	-45	0.82	(+) 张	(-) 压	
Case-2	②-L ₂	-3.2	-45	0.71			
Case-3	②-U	12	21	0.57			
Case-3	③-L ₁	100	122	0.82	58	76	0.76
Case-3	③-L ₂	98	121	0.81	29	46	0.63
Case-3	③-U	-13	-15	0.87	-10	-9	1.11

Tab.-5 走行試験内容

ケ-ス名	走行速度	測定項目	走行状態
Case-1	V=10 m/s	①-L ₁ ③-L ₁	上流
	20 "	①-L ₂ ③-L ₂	大
	30 "	①-1 ③-1	下流
Case-2	V=10 m/s	①-2 ③-2	下流
	20 "	①, ③	

Tab.-6 衝撃係数

T=0.14 の測定結果より算出した衝撃係数			
ケ-ス名	走行速度	側径向① 中央径向③	
Case-1	V=10 m/s	0.053	0.133
	20 "	0.048	0.126
	30 "	0.076	0.098
Case-2	V=10 m/s	0.109	—
	20 "	0.077	0.046

設計に用いた衝撃係数 $\zeta = 20/(50+2)$
 側径向① = 0.192, 中央径向③ = 0.150

Tab.-7 対数減衰率

ケ-ス名	走行速度	対数減衰率
Case-1	V=10 m/s	0.081
	30 "	0.136
Case-2	V=10 m/s	0.103
	20 "	0.120